

РОСТ КРИСТАЛЛОВ

УДК 546.28-121

ДИНАМИКА РОСТА МОНОКРИСТАЛЛОВ $Ge_{1-x}Si_x$ ПРИ ВЫРАЩИВАНИИ
МЕТОДОМ НАПРАВЛЕННОГО КОНЦЕНТРАЦИОННОГО
ПЕРЕОХЛАЖДЕНИЯ РАСПЛАВА

© 2011 г. Г. Х. Аждаров, З. М. Зейналов*, З. А. Агамалиев, С. О. Мамедова*

Институт физики НАН Азербайджана, Баку

E-mail: zangi@physics.ab.az

*Гянджинский государственный университет, Азербайджан

Поступила в редакцию 04.10.2010 г.

В пфанных приближениях решена задача динамики роста кристаллов твердых растворов бинарных систем при выращивании методом направленного концентрационного переохлаждения расплава, непрерывно подпитываемого кремниевым стержнем. Рассчитаны зависимости изменения аксиальной скорости роста кристаллов $Ge_{1-x}Si_x$ ($0 \leq x \leq 0.3$). Показано значительное изменение скорости кристаллизации в процессе роста кристалла $Ge_{1-x}Si_x$. Анализ полученных результатов позволяет определять оптимальные условия и технологические параметры для выращивания монокристаллов $Ge_{1-x}Si_x$ ($0 \leq x \leq 0.3$) с заданным градиентом концентраций вдоль оси кристаллизации.

ВВЕДЕНИЕ

В течение двух последних десятилетий были достигнуты определенные успехи в деле выращивания монокристаллов твердых растворов кремний–германий. Наряду с традиционными методами Чохральского, Бриджмена, зонной плавки и их различных модификаций [1–16] для получения кристаллов этой системы был использован новый перспективный метод, развитый в [4]. Сущность этого метода заключается в том, что рост кристалла из расплава, подпитываемого кремнием, происходит путем непрерывного концентрационного переохлаждения расплава на фронте кристаллизации. В дальнейшем в [17, 18] этим методом были получены кристаллы $Ge_{1-x}Si_x$ с линейно растущей концентрацией кремния вдоль оси кристаллизации.

Заметим, что в литературе название этого метода пока не утвердилось. Авторы [4, 17] назвали его методом мультикомпонентной зонной плавки и диффузией через жидкую fazу соответственно. В данной работе будем называть его методом направленного концентрационного переохлаждения расплава.

Известно, что необходимым условием роста монокристаллов полупроводниковых твердых растворов является малая скорость кристаллизации. Например, для концентрированных твердых растворов системы $Ge_{1-x}Si_x$ скорость роста монокристаллов более чем на 2 порядка ниже скорости роста их составных компонентов [2, 6, 9]. Связано это с концентрационным переохлаждением расплава вблизи зоны основного фронта кристаллизации. Критическая скорость v_c , выше которой

происходит поликристаллизация растущего кристалла $Ge_{1-x}Si_x$, может быть оценена следующим соотношением [2]:

$$v_c = \frac{D \nabla \theta K}{\nabla T_\ell x(K-1)}, \quad (K > 1). \quad (1)$$

Здесь K – коэффициент сегрегации кремния, x – доля атомов кремния в кристалле, $\nabla \theta$ – градиент температуры в расплаве, ∇T_ℓ – наклон кривой ликвидуса, $D = (30 - 24x) \times 10^{-5}$ см/с [2] – коэффициент диффузии кремния в расплаве.

В настоящей работе решена задача динамики роста кристаллов $Ge_{1-x}Si_x$ с линейно изменяющимся составом вдоль оси кристаллизации при выращивании методом направленного концентрационного переохлаждения расплава, подпитываемого кремнием. Цель работы – установление операционных параметров и оптимальных режимов кристаллизации расплава для выращивания монокристаллов системы германий–кремний с заданным аксиальным градиентом концентраций компонентов.

КОНЦЕПЦИЯ И ТЕОРЕТИЧЕСКИЙ АНАЛИЗ

На рис. 1 представлена схема выращивания монокристаллов $Ge_{1-x}Si_x$ методом направленного концентрационного переохлаждения расплава. В нагревателе, обеспечивающем аксиальный линейный рост температуры в рабочем объеме, проводится расплавление германиевой загрузки над монокристаллической затравкой германия (рис. 1б). По истечении стабилизационного времени в расплав через его верхнюю границу вводится крем-

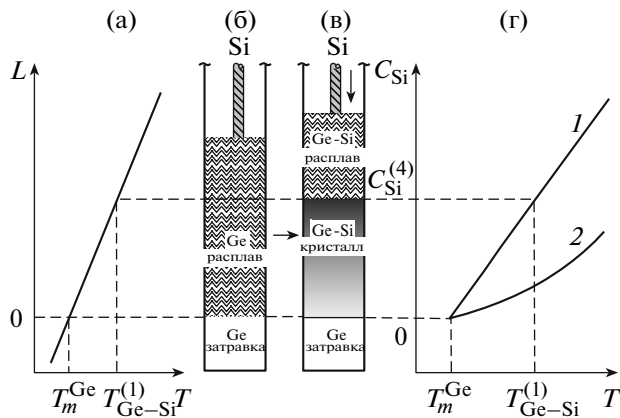


Рис. 1. Схема, поясняющая выращивание монокристаллов $\text{Ge}_{1-x}\text{Si}_x$ с линейным концентрационным профилем компонентов методом направленного концентрационного переохлаждения расплава в статическом режиме: а — аксиальное температурное поле в расплаве; б — стартовая позиция кристаллизации расплава; в — кристаллизация расплава в момент времени t_1 ; г — диаграмма фазового состояния системы $\text{Ge}_{1-x}\text{Si}_x$ в интервале $0 \leq x \leq 0.3$ (1 — солидус, 2 — ликвидус) [19].

ниевый стержень с заданной скоростью. Рост кристалла происходит в статическом режиме, т.е. без использования механизма перемещения тигля относительно нагревателя. В стартовый момент времени температура на фронте кристаллизации равна температуре плавления германия. С течением времени часть растворенного кремния у верхней границы расплава за счет диффузии достигает фронта кристаллизации. Это приводит к формированию переохлажденного расплава у фронта кристаллизации и росту кристалла $\text{Ge}-\text{Si}$. Непрерывный рост концентрации кремния у фронта кристаллизации приводит к росту температуры ликвидуса расплава. Если в момент времени t_1 температура ликвидуса расплава достигает значения, обозначенного на рис. 1а через $T_{\text{Ge}-\text{Si}}^{(1)}$, то согласно диаграмме состояния, соответствующая концентрация кремния в кристалле будет равна $C_{\text{Si}}^{(1)}$. Дальнейшее прохождение процесса ведет к непрерывному переходу фронта кристаллизации в направлении высоких температур и росту концентрации кремния в матрице вдоль оси кристаллизации. Заметим, что в интервале 0–30 ат. % Si кривая солидуса системы показывает практически линейный рост концентрации кремния с температурой (рис. 1г) с градиентом $dx/dT \approx 0.31$ ат. % К [19].

Задачу динамики роста кристаллов $\text{Ge}_{1-x}\text{Si}_x$ с линейно изменяющимся составом вдоль оси кристаллизации методом направленного концентрационного переохлаждения расплава решали в пфанновском приближении при следующих стандартных условиях: на фронте кристаллиза-

ции существует равновесие между жидкой и твердой фазами, определяемое диаграммой фазового состояния системы; фронт кристаллизации, в сечениях, параллельных поверхности раздела фаз, — плоский; диффузия компонентов в расплаве протекает со скоростью, обеспечивающей его одинаковый состав по всему объему; подпитывающий стержень кремния полностью растворяется в расплаве по мере его погружения; диффузия компонентов в твердой фазе пренебрежимо мала. Отметим, что для системы кремний-германий эти условия практически выполняются при скоростях роста кристалла менее 5 мм/ч [6, 7].

Введем следующие обозначения: N_{Ge}^* — общее количество атомов германия в загрузке над затравкой; N_{Si}^* — общее количество вводимых в расплав атомов кремния, необходимое для кристаллизации всего расплава; L, L^* — длина кристалла в текущий момент времени и после полного завершения кристаллизации расплава соответственно; t^* — время полной кристаллизации расплава; x, x^* — доля атомов кремния у фронта кристаллизации в твердой фазе в текущий t и финальный t^* моменты времени; $n_{\text{Ge}}, n_{\text{Si}}, n_x$ — концентрации атомов в кристаллах Ge, Si и $\text{Ge}_{1-x}\text{Si}_x$ соответственно; $C_{\text{Si}}, C_{\text{Si}}^*$ — концентрации атомов кремния у фронта кристаллизации в твердой фазе в текущий и финальный моменты времени; R_{Si} — количество атомов кремния, вводимое в расплав в единицу времени; K — равновесный коэффициент сегрегации кремния, зависящий от состава.

По условию задачи считаем, что R_{Si} в период роста кристалла не зависит от времени. Тогда t^* и средняя скорость роста v^* всего кристалла определяются следующими уравнениями:

$$t^* = \frac{N_{\text{Si}}^*}{R_{\text{Si}}}, \quad v^* = \frac{L^*}{t^*}. \quad (2)$$

Динамику (скорость) роста кристалла вдоль оси кристаллизации определяли следующим образом. На заданном участке расплава от L_1 до L_2 средняя скорость роста кристалла

$$v_{1-2} = \frac{L_2 - L_1}{t_2 - t_1} = \frac{\Delta L_{2,1}}{\Delta t_{2,1}}. \quad (3)$$

В принятом приближении $\Delta t_{2,1}$ равно времени, необходимому для введения в расплав такого количества кремния $N_{\text{Si}}^{1,2}$, которое обеспечит кристаллизацию расплава на заданном участке, тогда с учетом (2) имеем:

$$\Delta t_{1,2} = \frac{N_{\text{Si}}^{1,2}}{R_{\text{Si}}} = \frac{N_{\text{Si}}^{1,2} L^*}{N_{\text{Si}}^* v^*}, \quad v_{1-2} = \frac{\Delta L_{2,1} N_{\text{Si}}^* v^*}{N_{\text{Si}}^{1,2} L^*}. \quad (4)$$

Параметры $L^*, N_{\text{Si}}^*, N_{\text{Si}}^{1,2}$ в правой части (4) определены ниже. Длина кристалла

$$L^* = x^* \left(\frac{\partial x}{\partial T} \frac{\partial T}{\partial L} \right)^{-1}. \quad (5)$$

Здесь по условию задачи выражение в скобках является заданной и постоянной величиной.

Для N_{Si}^* с учетом того, что в кристалле объемом dV у фронта кристаллизации $C_{\text{Si}} = dN_{\text{Si}}/dV$, имеем:

$$N_{\text{Si}}^* = \int_0^{V^*} C_{\text{Si}} dV = \int_0^{L^*} xn_x S dL, \quad (6)$$

где S – площадь поперечного сечения кристалла. Член n_x в (6) определяем в рамках модели виртуального кристалла для твердых растворов, согласно которой заданный параметр изменяется линейно с составом матрицы между значениями концентраций в составных компонентах [18], тогда из (6) и (5) имеем:

$$\begin{aligned} N_{\text{Si}}^* &= \int_0^{L^*} x[n_{\text{Ge}} + (n_{\text{Si}} - n_{\text{Ge}})x]S dL = \\ &= \int_0^{L^*} n_{\text{Ge}} \left(\frac{\partial x}{\partial T} \frac{\partial T}{\partial L} \right) LS dL + \\ &\quad + (n_{\text{Si}} - n_{\text{Ge}}) \left(\frac{\partial x}{\partial T} \frac{\partial T}{\partial L} \right)^2 L^2 S dL = \\ &= \frac{n_{\text{Ge}} x^* L^* S}{2} + \frac{(n_{\text{Si}} - n_{\text{Ge}})(x^*)^2 L^* S}{3}. \end{aligned} \quad (7)$$

Аналогичным образом для общего количества германия с долей атомов в кристалле, равной $(1 - x)$, имеем:

$$\begin{aligned} N_{\text{Ge}}^* &= \int_0^{L^*} [n_{\text{Ge}} + (n_{\text{Si}} - n_{\text{Ge}})x](1 - x)S dL = \\ &= \int_0^{L^*} [n_{\text{Ge}} - x(2n_{\text{Ge}} - n_{\text{Si}}) - (n_{\text{Si}} - n_{\text{Ge}})x^2]S dL = \\ &= n_{\text{Ge}} S L^* - \frac{(2n_{\text{Ge}} - n_{\text{Si}})x^* L^* S}{2} - \frac{(n_{\text{Si}} - n_{\text{Ge}})(x^*)^2 L^* S}{3}. \end{aligned} \quad (8)$$

Количество кремния, вводимого в расплав для кристаллизации участка $\Delta L_{1,2}$,

$$N_{\text{Si}}^{1,2} = (N_{\text{Si}}^{2c} + N_{\text{Si}}^{2m}) - (N_{\text{Si}}^{1c} + N_{\text{Si}}^{1m}), \quad (9)$$

где $N_{\text{Si}}^{1c}, N_{\text{Si}}^{2c}$ – количество кремния в кристаллах длиной L_1 и L_2 соответственно; $N_{\text{Si}}^{1m}, N_{\text{Si}}^{2m}$ – количество кремния в расплаве над твердой фазой в моменты нахождения фронта кристаллизации на уровнях L_1 и L_2 .

Значения $N_{\text{Si}}^{1c}, N_{\text{Si}}^{2c}$ вычисляются с помощью (5) и (7) заменой L^* на L_1 и L_2 и x^* на x_1 и x_2 соответ-

ственно. Значение N_{Si}^{1m} определяем следующим образом. Доля атомов кремния в расплаве над фронтом кристаллизации при $L = L_1$ и $x = x_1$ равна x_1/K_1 (K_1 – коэффициент сегрегации, соответствующий составу x_1 солидуса). Тогда доля атомов германия в расплаве составляет $1 - x_1/K_1$ и выполняется следующее соотношение

$$N_{\text{Si}}^{1m} = \frac{N_{\text{Ge}}^{1m} \frac{x_1}{K_1}}{1 - \frac{x_1}{K_1}}. \quad (10)$$

Здесь количество германия в расплаве $N_{\text{Ge}}^{1m} = N_{\text{Ge}}^* - N_{\text{Ge}}^{lc}$ (N_{Ge}^{lc} – количество германия в кристалле длиной L_1) с учетом (5) и (8) определяется уравнением:

$$\begin{aligned} N_{\text{Ge}}^{1m} &= n_{\text{Ge}} S (L^* - L_1) - \frac{(2n_{\text{Ge}} - n_{\text{Si}})(x^* L^* - x_1 L_1)S}{2} - \\ &\quad - \frac{(n_{\text{Si}} - n_{\text{Ge}})((x^*)^2 L^* - (x_1)^2 L_1)S}{3}. \end{aligned} \quad (11)$$

Составив для определения N_{Si}^{2m} уравнения, аналогичные (10) и (11), и подставив вычисленные приведенным выше образом значения всех параметров в правую часть (9), определяем $N_{\text{Si}}^{1,2}$.

Перепишем выражение (4) для v_{1-2} в следующем виде:

$$\frac{v_{1-2}}{V^*} = \frac{\Delta L_{2,1} N_{\text{Si}}^*}{L^* N_{\text{Si}}^{1,2}}. \quad (12)$$

В этом случае динамику роста кристалла вдоль оси кристаллизации определяем графиком зависимости v_{1-2}/V^* от L , построенным вычислением параметра $N_{\text{Si}}^{1,2}$ для различных участков $\Delta L_{2,1}$ вдоль длины L в интервале от нуля до L^* . На рис. 2 для примера представлена эта зависимость для кристалла $\text{Ge}_{1-x}\text{Si}_x$ с $x^* = 0.3$ при градиенте температуры в расплаве 25 К/см. Заметим, что в [17, 18] кристаллы $\text{Ge}_{1-x}\text{Si}_x$ были выращены при градиентах температуры в расплаве, близких к этому значению. Как видно из рис. 2, скорость роста кристалла существенно уменьшается по длине и, следовательно, с ростом содержания в нем кремния. В рассматриваемом примере значение v_{1-2} в начальной части кристалла примерно в 5 раз превышает скорость в его конечной части. Согласно критерию, выраженному формулой (1), такой характер изменения скорости роста кристалла является благоприятствующим фактором для роста монокристалла с растущей концентрацией кремния вдоль оси кристаллизации. На рис. 3 представлена кривая зависимости критической скорости v_c роста монокристалла $\text{Ge}_{1-x}\text{Si}_x$ ($0 < x < 0.3$) от содержания кремния в матрице, вычисленная по

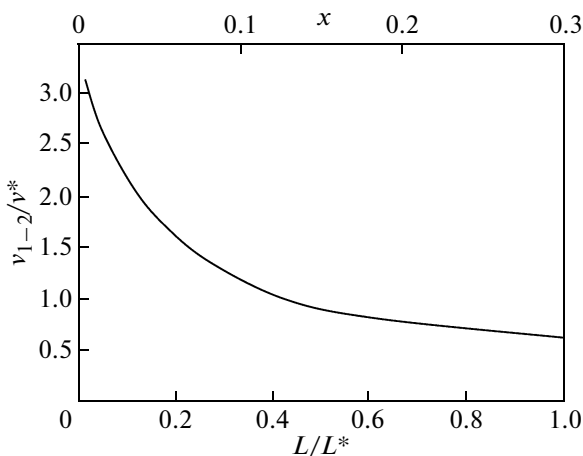


Рис. 2. Изменение относительной скорости роста кристалла $\text{Ge}_{1-x}\text{Si}_x$ ($0 \leq x \leq 0.3$) вдоль оси кристаллизации при выращивании методом направленного концентрационного переохлаждения расплава в статическом режиме при $\nabla\theta = 25 \text{ K/cm}$.

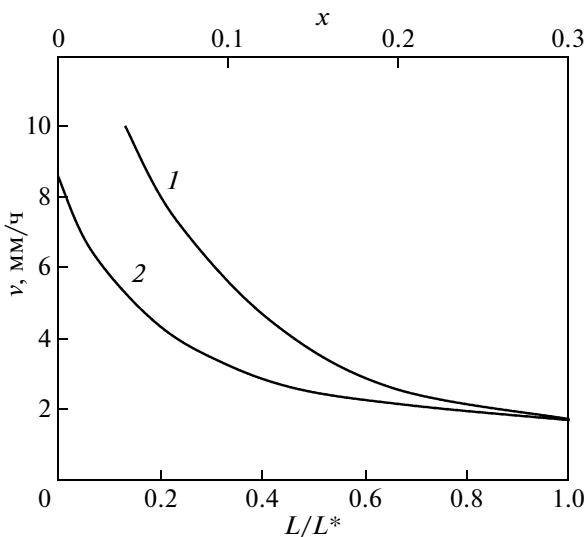


Рис. 3. Зависимость критической скорости v_c роста монокристалла $\text{Ge}_{1-x}\text{Si}_x$ от x (1), вычисленная по формуле (1), и изменение v_{1-2} от L и соответствующих значений x , рассчитанных по данным рис. 2 при $v_{1-2}^* = v_c^*$ (2).

(1). Значения K для соответствующих x определялись из диаграммы фазового состояния системы Ge–Si. Сравнение хода кривых на рис. 2 и 3 показывает, что динамика убывания v_c с x превышает таковую для зависимости v_{1-2}/v^* от x . Это означает, что при значениях v^* , удовлетворяющих в конечной части слитка ($x \approx 0.3$) выполнению условия $v_{1-2}^* \leq v_c^*$, рост кристалла во всем интервале изменения x будет происходить при скоростях v_{1-2} ниже критической для соответствующих составов. На рис. 3 кривая (2), демонстрирующая из-

менение скорости роста кристалла $\text{Ge}_{1-x}\text{Si}_x$ вдоль оси кристаллизации L и от соответствующих значений x , рассчитана по данным кривой рис. 2 для режима $v_{1-2}^* = v_c^*$. Как видно из рис. 3, выполнение условия $v_{1-2}^* \leq v_c^*$ при выращивании кристалла $\text{Ge}_{1-x}\text{Si}_x$ методом направленного концентрационного переохлаждения обеспечивает его монокристалличность по всей длине.

Анализ хода кривых рис. 3 показывает возможность минимизации времени роста монокристалла применением относительно высоких значений средней скорости v^* в начальной части кристалла.

ЗАКЛЮЧЕНИЕ

В пфанновском приближении и в рамках модели виртуального кристалла для твердых растворов решена теоретическая задача динамики роста смешанных кристаллов бинарных систем с линейно изменяющимся составом вдоль оси кристаллизации при выращивании методом направленного концентрационного переохлаждения расплава. Показано существенное уменьшение скорости роста кристалла $\text{Ge}_{1-x}\text{Si}_x$ ($0 \leq x \leq 0.3$) вдоль оси кристаллизации с увеличением концентрации кремния. Соотношение этих скоростей в начальной и конечной частях кристалла составляет приблизительно пять. Полученные в работе соотношения по закономерностям изменения скорости роста кристаллов $\text{Ge}_{1-x}\text{Si}_x$ вдоль оси кристаллизации необходимы для определения оптимальных технологических параметров и условий для обеспечения монокристалличности при росте твердых растворов этой системы с заданным аксиальным градиентом концентраций компонентов.

СПИСОК ЛИТЕРАТУРЫ

- Yonenaga I. // J. Cryst. Growth. 1999. V. 198/199. P. 404.
- Yonenaga I. // J. Cryst. Growth. 2005. V. 275. P. 91.
- Abrosimov N.V., Rossolenko S.N., Thieme W. et al. // J. Cryst. Growth. 1997. V. 174. P. 182.
- Nakajima K., Kodama S., Miyashita S. et al. // J. Cryst. Growth. 1999. V. 205. P. 270.
- Marin C., Ostrogorsky A.G. // J. Cryst. Growth. 2000. V. 211. P. 378.
- Azhdarov G.Kh., Kucukomeroglu T., Varilci A. et al. // J. Cryst. Growth. 2001. V. 226. P. 437.
- Аждаров П.Г., Агаев Н.А. // Неорган. материалы. 1999. Т. 35. (8). С. 763.
- Varilci A., Kucukomeroglu T., Azhdarov G.Kh. // Chin. J. Phys. (Taipei, Taiwan). 2003. V. 41. P. 79.
- Miyata H., Adachi S., Ogata Y. et al. // J. Cryst. Growth. 2007. V. 303. P. 607.
- Adachi S., Ogata Y., Koshikawa N. et al. // J. Cryst. Growth. 2005. V. 280. P. 372.

11. *Campbell T.A., Schweizer M., Dold P. et al.* // *J. Cryst. Growth.* 2001. V. 226. P. 231.
12. *Dold P., Barz A., Recha S. et al.* // *J. Cryst. Growth.* 1998. V. 192. P. 125.
13. *Kyazimova V.K., Zeynalov Z.M., Zakhrabekova Z.M., Azhdarov G.Kh.* // *Crystallography Reports.* 2006. V. 51. P. S192.
14. *Azhdarov G.Kh., Kyazimzade R.Z.* // *Crystallography Reports.* 2005. V. 50(1). P. S149.
15. *Аждаров Г.Х., Зейналов З.М., Гусейнли Л.А.* // *Кристаллография.* 2009. Т. 54. № 1. С. 137.
16. *Аждаров Г.Х., Зейналов З.М., Агамалиев З.А., Кязимова А.И.* // *Кристаллография.* 2010. Т. 55. С. 740.
17. *Yildiz M., Dost S., Lent B.* // *J. Cryst. Growth.* 2005. V. 280. P. 151.
18. *Захрабекова З.М., Зейналов З.М., Кязимова В.К., Аждаров Г.Х.* // *Неорган. материалы.* 2007. Т.43. № 1. С. 5.
19. *Глазов В.М., Земсков В.С.* *Физико-химические основы легирования полупроводников.* М.: Наука, 1967. 371 с.